

C05

## 耐 AO コーティングによる CFRP からのイジェクタの低減 Reduction in Ejecta from CFRP by Atomic Oxygen Protective Coating

○西田 政弘, 高原 秀征(名古屋工業大学), 古田 尚正,  
岩瀬 賢明(東亜合成), 東出 真澄, 石田 雄一(JAXA)

○NISHIDA Masahiro, TAKAHARA Hideyuki (Nagoya Institute of Technology), FURUTA Naomasa,  
IWASE Yoshiaki (Toagosei), HIGASHIDE Masumi, ISHIDA Yuichi (JAXA)

炭素繊維強化複合材料(CFRP)は宇宙機にも多く使われているが, 飛翔体が超高速衝突すると, 多くの破片(イジェクタ)が飛散する. 耐原子状酸素(AO)コーティングを塗布することで, イジェクタを低減しつつ, バンパーとしての性能は同等もしくは向上するようなデブリバンパーを目指して, 研究している. その結果を報告する.

Carbon fiber reinforced plastic (CFRP) plates are widely used in spacecraft. When projectiles strike them at very high velocities, many fragments (ejecta) were scattered. Our group proposed AO coating/CFRP to reduce ejecta from CFRP and to keep or improve bumper performance. We would like to report some results of AO coating/CFRP.

## 耐AOコーティングによるCFRPからのイジェクタの低減 Reduction in Ejecta from CFRP by Atomic Oxygen Protective Coating

○西田政弘, 高原秀征 (名古屋工業大学)

古田尚正, 岩瀬賢明 (東亜合成株式会社)

東出真澄, 石田雄一 (宇宙航空研究開発機構)

Masahiro Nishida, Hideyuki Takahara (Nagoya Institute of Technology)

Naomasa Furuta, Yoshiaki Iwase (Toagosei Co., Ltd.)

Masumi Higashide, Yuichi Ishida (JAXA)

1

### International Space Station

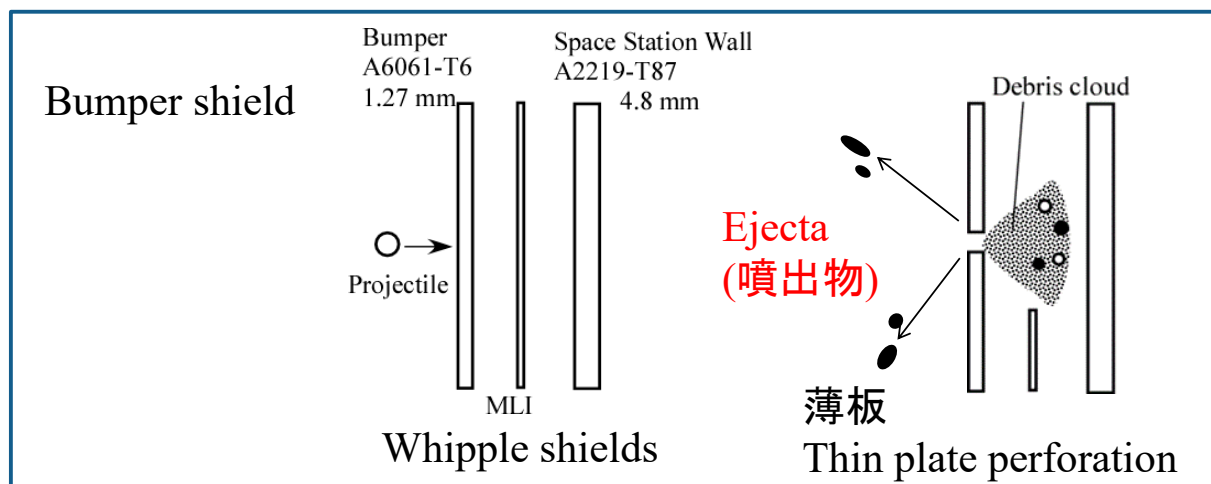


Courtesy of NASA  
<http://spaceflight.nasa.gov/gallery/images/shuttle/sts-127/html/s127e011212.html>

### JEM "KIBOU"

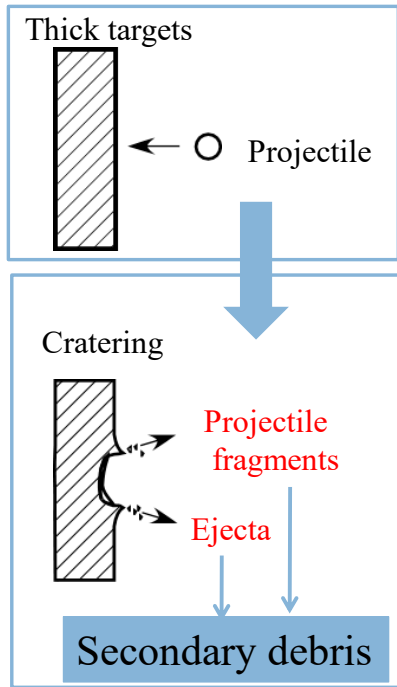


Courtesy of JAXA  
[http://www.jaxa.jp/projects/iss\\_human/kibo/index\\_j.html](http://www.jaxa.jp/projects/iss_human/kibo/index_j.html)



2

# Penetration into Thick Plates

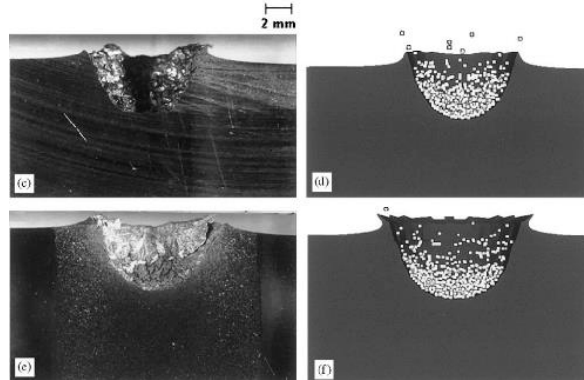


## Composition of ejecta

Numata, Kikuchi, Sun, Kaiho, Takayama, Proc JSSW, (2006), pp. 221-222.



## Projectile fragments and ejected materials



Murr, Int. J Impact Eng., (2006), pp. 1981-1999.

3

# Flux of Space Debris

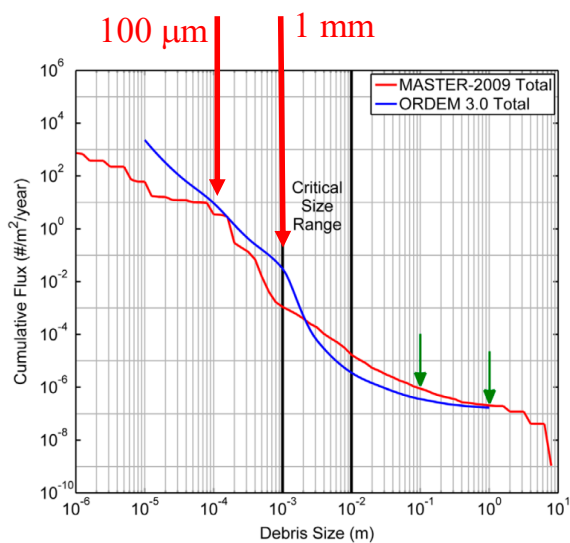


Fig. 1. ORDEM 3.0 and MASTER-2009 orbital debris fluxes for the ISS orbit in 2014.

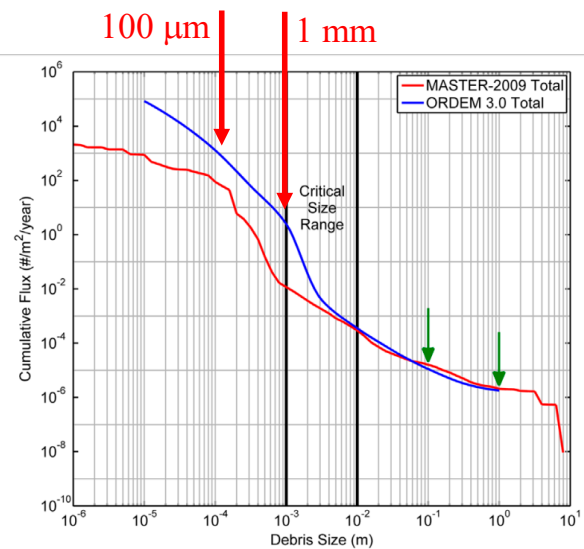


Fig. 4. ORDEM 3.0 and MASTER-2009 orbital debris fluxes for the SSO orbit in 2014.

P. H. Krisko, S. Flegel, M. J. Matney, D. R. Jarkey, V. Braun, ORDEM 3.0 and MASTER-2009 modeled debris population comparison, Acta Astronautica, Vol. 113, 2015, pp. 204-211.

4

# Purpose: Reduction of Ejecta (イジェクタの低減)

## 1) Coating / CFRP plates (コーティング / CFRP板)

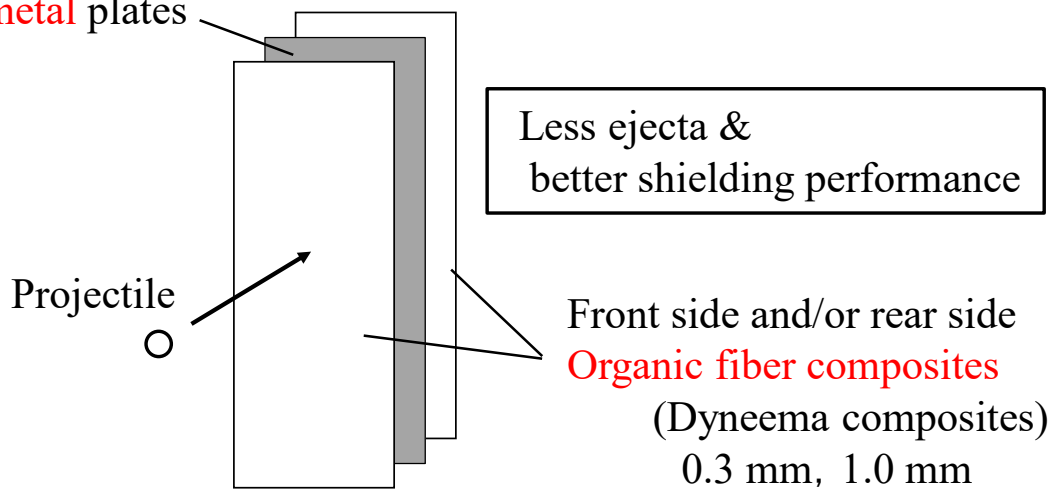
(宇宙科学に関する室内実験シンポジウム2020, 材料学会講演会2020電通大)

## 2) Organic fiber reinforcement composites (有機繊維補強複合材料)

(宇宙科学に関する室内実験シンポジウム2019, M&M2019材料力学カンファレンス九大, 第8回スペースデブリワークショップ2018)

=> **Poster presentation**

Light metal plates



5

# Earlier Studies of Debris Shielding (1/2)

## PBI coating/CFRP

Polybenzimidazole (PBI):  
Atomic Oxygen Protective Coating

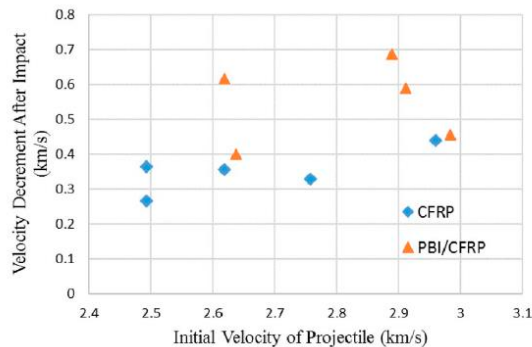
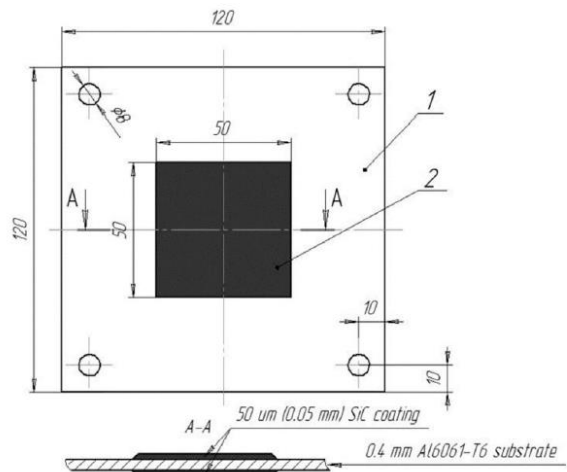


Fig. 5. Velocity decrement of the projectile after impact with CFRP and PBI/CFRP.

Sarath Kumar Sathish Kumar, et al., Polybenzimidazole (PBI) film coating for improved hypervelocity impact energy absorption for space applications, Composite Structures 188 (2018) 72–77

## SiC coating/Al



Aleksandr Cherniaev, Igor Telichev, Sacrificial bumpers with high-impedance ceramic coating for orbital debris shielding, International Journal of Impact Engineering, 119 (2018) 45–56

6

# Earlier Studies of Debris Shielding (2/2)

## Ti-Al nylon impedance-graded materials

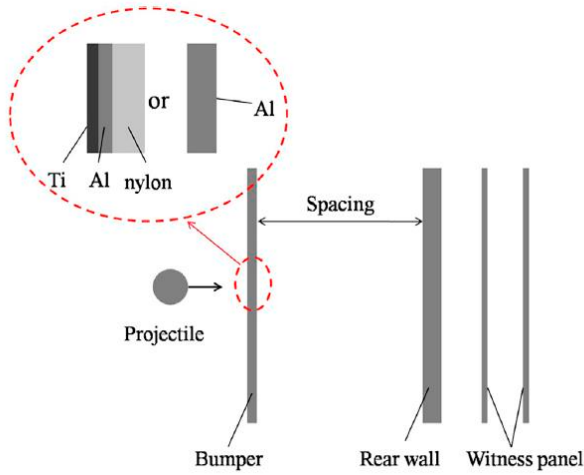


Fig. 1. Experiment schematic diagram.

Zhang P.L., et al., Study of the shielding performance of a Whipple shield enhanced by Ti-Alnylon impedance-graded materials, International Journal of Impact Engineering 124 (2019) 23–30

## Kevlar/ FRP

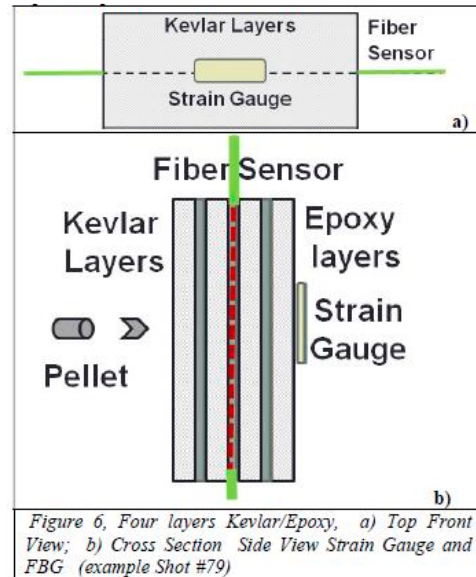


Figure 6, Four layers Kevlar/Epoxy, a) Top Front View; b) Cross Section Side View Strain Gauge and FBG (example Shot #79)

Emile Haddad, et al., Mitigating the effect of space small debris on COPV in space with fiber sensors and self repairing materials, Proc. ECSSMET (2018)

7

## Atomic oxygen (AO) protective coating / CFRP plates

(耐原子状酸素コーティング/CFRP板)

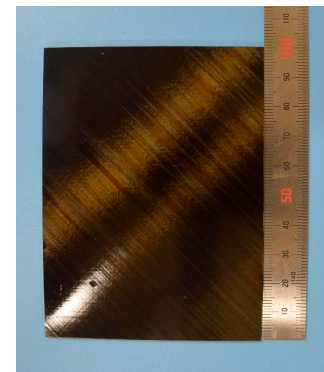
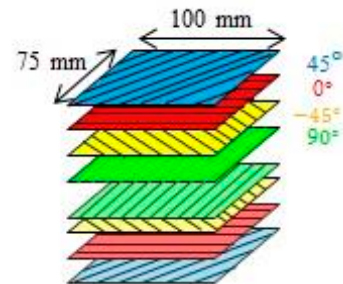
## Polyimide CFRP

**Polyimide CFRP** (Prepreg from JAXA\*)

Size : 75 mm × 100 mm

Thickness: 1.0 mm (8 ply)

Quasi-isotropic [45°/0°/-45°/90°]<sub>s</sub>  
(擬似等方性)



\* 石田雄一, 耐熱高分子基複合材(耐熱 CFRP)の適用技術研究, 日本航空宇宙学会誌, 68(2), 2020, pp. 38-42.

Miyauchi, M., Ishida, Y., Ogasawara, T. and Yokota, R., Highly soluble phenylethynyl-terminated imide oligomers based on KAPTON-type backbone structures for carbon fiber-reinforced composites with high heat resistance, Polymer J., 45, 2013, 594-600.

10

## Atomic Oxygen (AO) Protective Coating

Coating

Sil-sesqui-oxane derivative  
(シルセスキオキサン誘導体)  
(Toagosei)

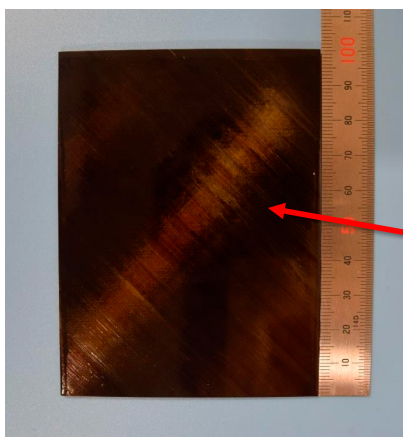
Thickness 5 μm, 20 μm

Composition formula  $[(\text{RSiO}_{1.5})_n]$ ,  
intermediate material of inorganic  
silica  $[\text{SiO}_2]$  and organic silicone  
 $[(\text{R}_2\text{SiO})_n]$

Density 1.14 g/cm<sup>3</sup>

Storage modulus  $1 \times 10^9$  Pa

(1 Hz, 0°C)



Atomic oxygen (AO)  
protective coating

bar-coating method  
⇒ Ultraviolet curing

Thickness 20 μm

⇒ Areal density 1.58% up

11

# Sil-sesqui-oxane Derivative

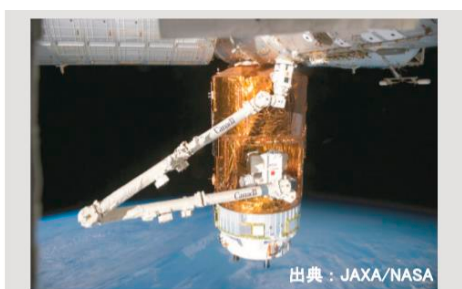


写真1 ポリイミドフィルム使用例 (写真中央琥珀色光沢部)  
ISSに取り付けられた「このとり」3号機

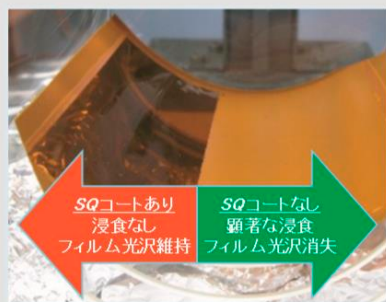


写真3 ポリイミドフィルムに対するプラズマアッシャー試験  
簡易耐AO試験、15時間照射後

古田尚正, 北村昭憲, 鈴木浩, 石澤淳一郎, 木本雄吾, 田村高志, シルセスキオキサン誘導体「光硬化型SQシリーズ」の宇宙用材料への応用～耐原子状酸素コーティングの開発～, 東亜合成. 研究年報TREND (2013)

SQ series (1 - 2 μm)/ polyimide film (50 μm)

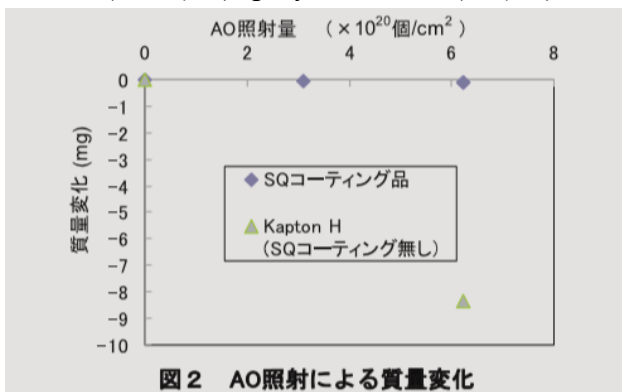


図2 AO照射による質量変化

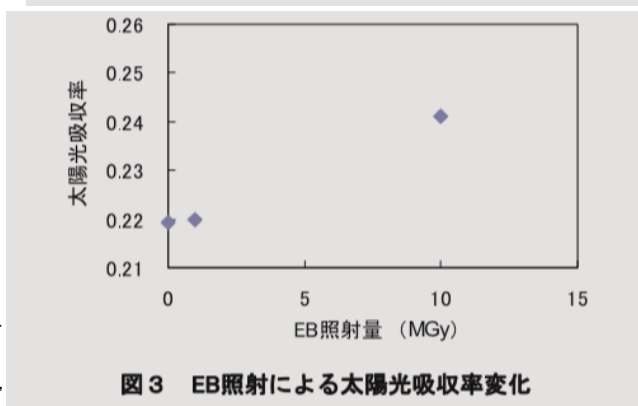


図3 EB照射による太陽光吸収率変化

## Experimental Condition

Shot No.	Impact velocity [km/s]	Coating thickness [μm]	Areal density [g/cm <sup>2</sup> ]
J-417	3.24	5	0.1705
J-413	3.17		0.1712
J-414	3.11	20	0.1732

Thickness 20 μm  
=> Areal density 1.58% up

## Experimental Setup (1/2)

### Two stage gas gun



JAXA/ISAS

Impact velocity  
2 km/s – 7 km/s

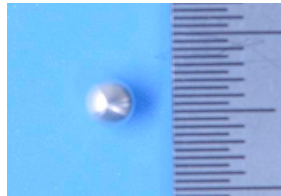
N. Kawai, K. Tsurui, S. Hasegawa, E. Sato,  
Rev Sci Instrum 81 (11) (2010) 115105.

### Projectile

Aluminum alloy sphere

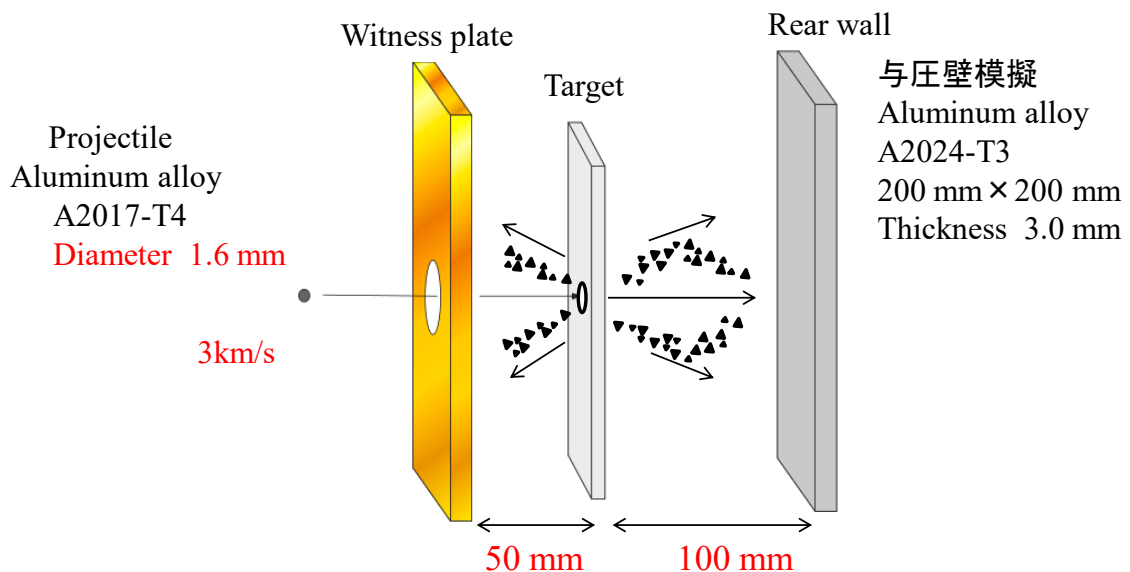
A2017-T4

Diameter: 1.6 mm  
(3 km/s)



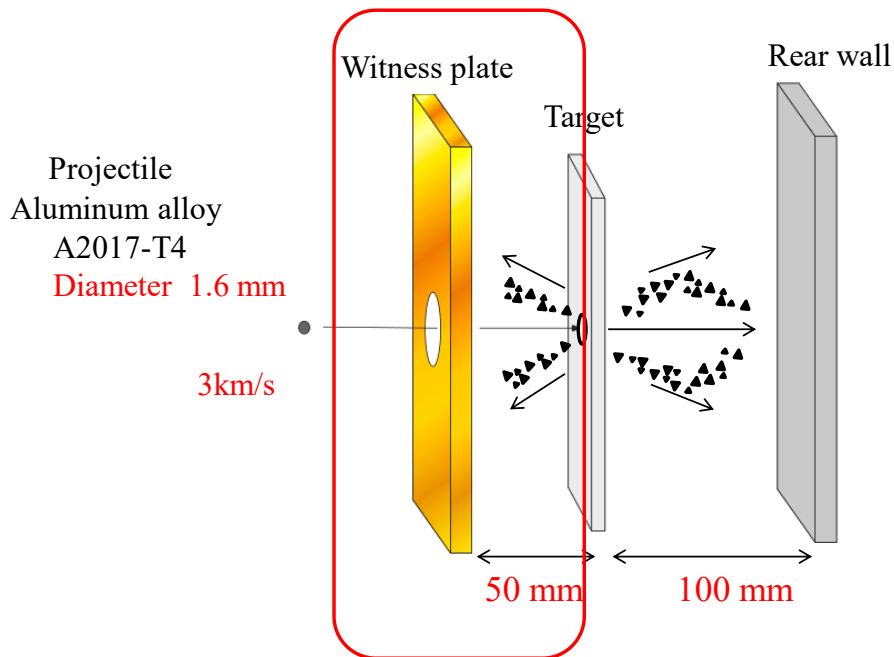
14

## Experimental Setup (2/2)



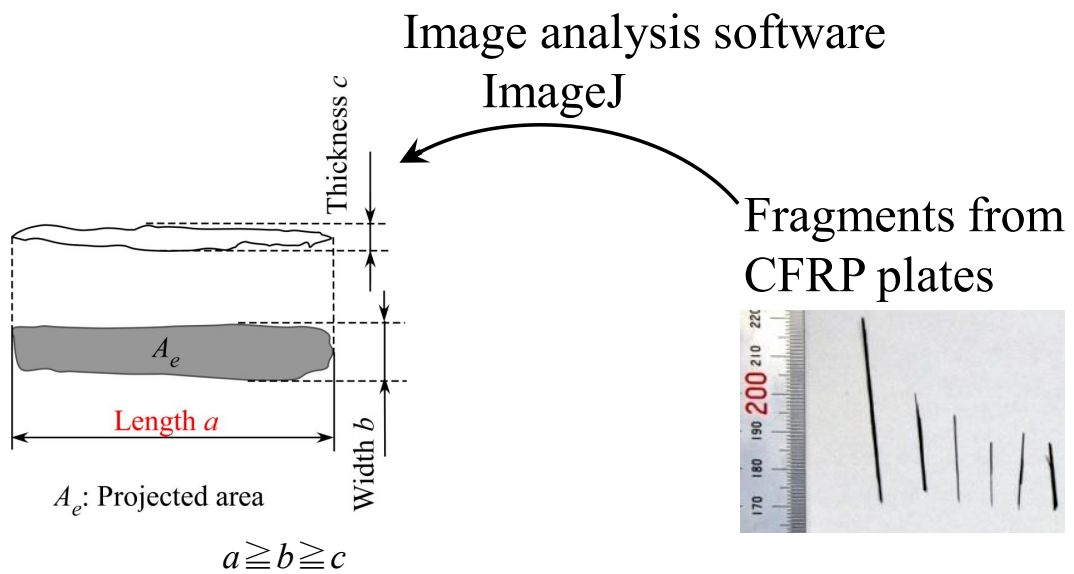
15

# Results of Ejecta



16

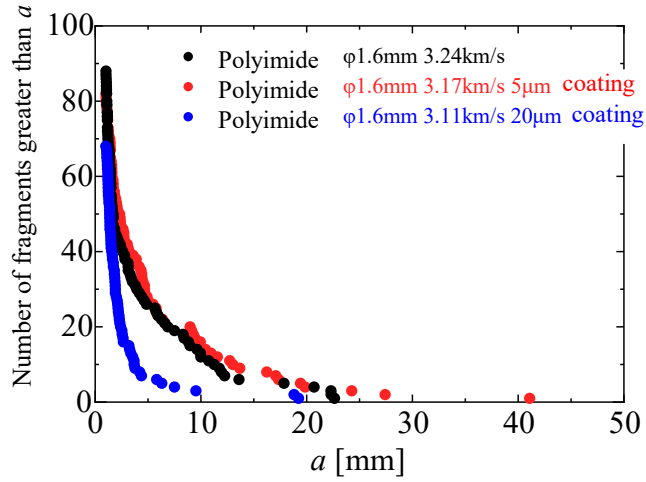
## Evaluation of Ejecta (Direct method)



Main target:  $a \geq 1 \text{ mm}$

17

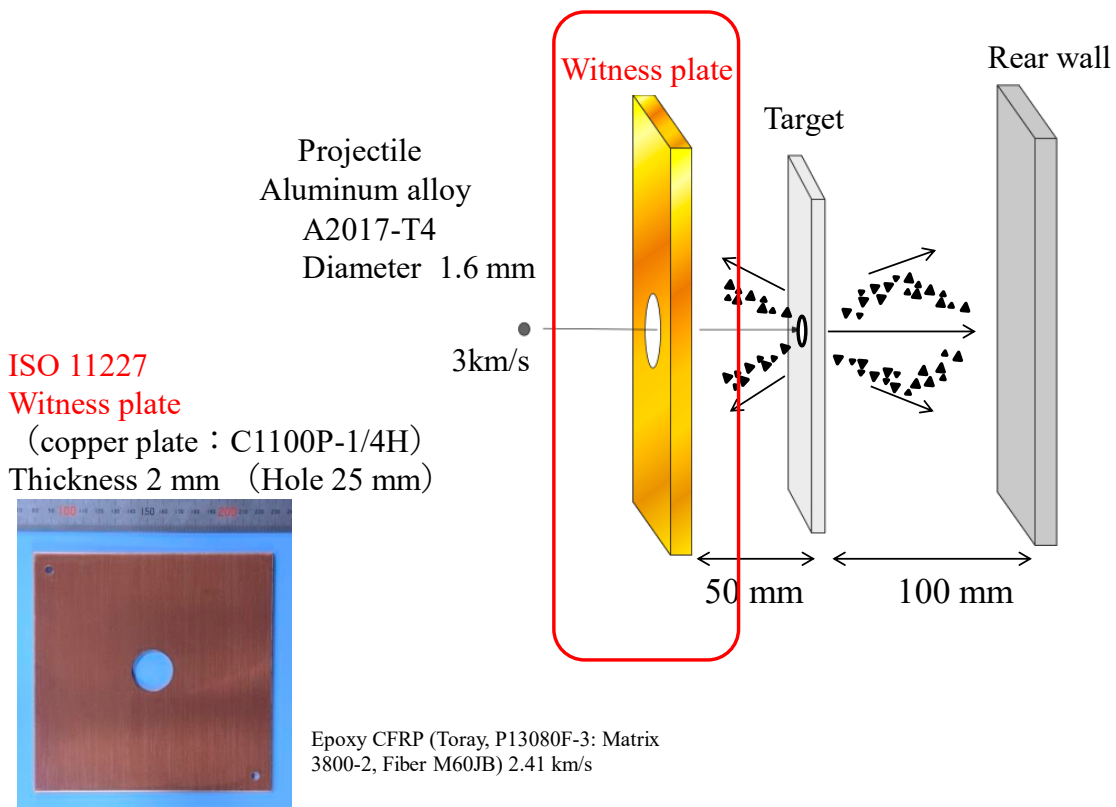
# Results by Direct Method (Cumulative number distribution of ejecta)



No.	Impact velocity [km/s]	Coating thickness [μm]	Areal density [g/cm <sup>2</sup> ]	Number of ejecta over 1 mm
J-417	3.24	5	0.1705	88
J-413	3.17		0.1712	82
J-414	3.11	20	0.1732	68

18

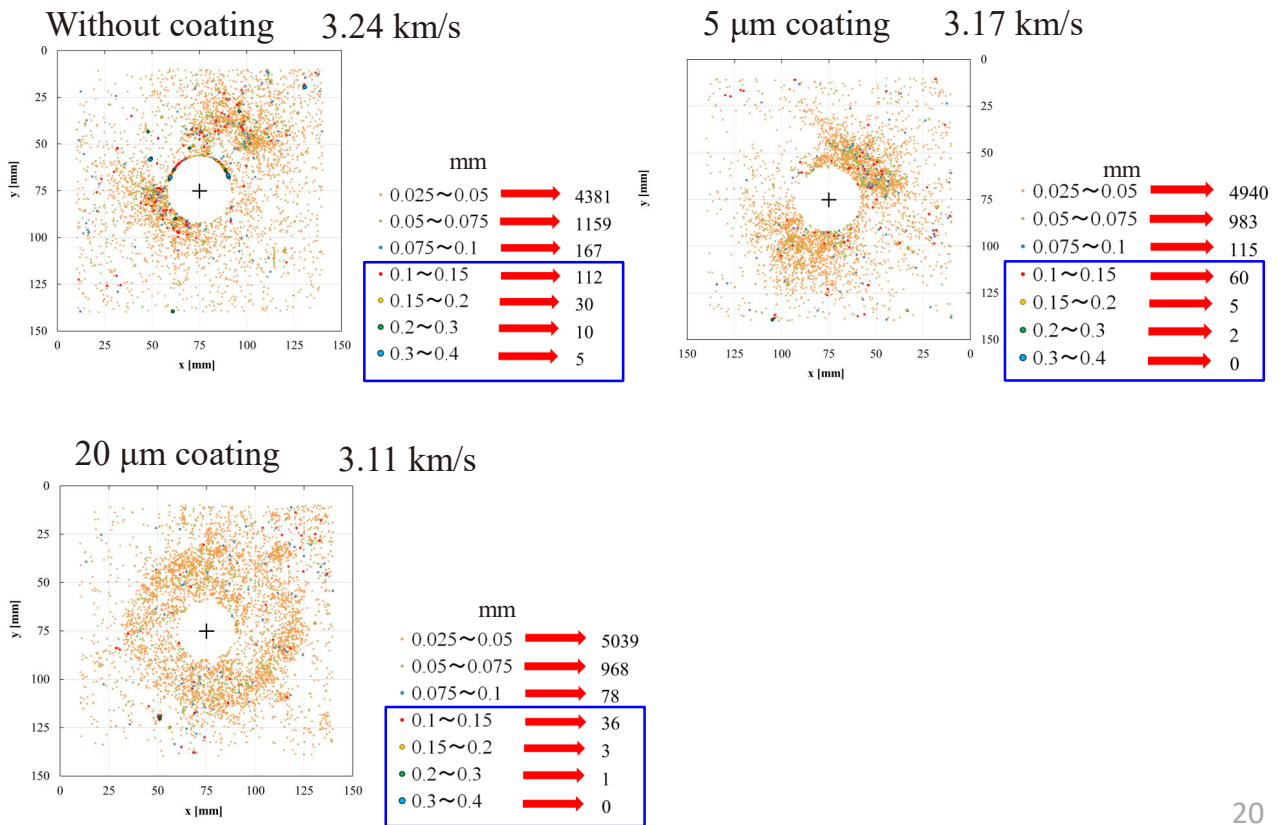
# Results of Ejecta



Nishida et al., Proceedings of 7th European Conference on Space Debris, (2017)

19

# Results by Witness Plates (ISO 11227)



20

## Conclusions

1. Shielding performance : Similar
2. Forward ejecta : **Decrease**
3. Effects of coating thickness : Unclear
4. **Future plans** :
  - 1) Reproducibility
  - 2) Effects of space environment
  - 3) Mechanism

## Acknowledgments

---

本研究を進めるにあたり、コーティングに関しまして、名古屋工業大学 栗山 晃 特任教授に、アドバイスいただきました。

本実験にあたり、宇宙航空研究開発機構 宇宙科学研究所 スペースプラズマ共同研究設備を利用しました。ここに記して謝意を表します。本研究は、JSPS 科研費19K04072の助成を受けたものです。

